

水压机设备

米海耶夫著



机械工业出版社

压机设备

計算、設計和使用

(原文增訂第二版)

米海耶夫著

刘植惠、孔希、徐有达、牟傳章譯



机械工业出版社

1957

出版者的話

本書研討了水壓機及其零件的結構與計算、動力問題以及以液泵蓄勢站和單獨迴轉泵驅動的各種水壓機的分流裝置、調節裝置的結構。同時，也闡明了各種水壓機設備的動作系統和操作特點。

本書供水壓機製造工程師、設計師、使用人員以及高等工業學校的學生參考之用。

苏联 B. A. Михеев 著 ‘Гидравлические прессовые установки’ (Машгиз 1953 年第二版)

* * *

NO. 1288

1957年1月第一版 1957年1月第一版第一次印刷

850×1168 1/32 字数 317 千字 印张 13 0,001—5,200 册

机械工业出版社(北京东交民巷 27 号)出版

机械工业出版社印刷厂印刷 新华书店發行

北京市書刊出版業營業許可証出字第 008 号 定价(10) 2.40 元

目 次

原 序	5
第一章 各类水压机在中心載荷和偏心載荷下力的分布 及水压机結構型式的选择	7
立柱和螺帽的計算及其緊固	16
上橫梁、底座和提升橫梁的計算	26
工作缸与柱塞的計算	41
第二章 水压机的輔助設備	72
增压器	72
充液筒的結構和計算	90
第三章 分流裝置的設計与計算	97
閥	97
用單独泵傳动的水压机之分流裝置的結構与計算	127
調整裝置	147
第四章 水压机設備的动力	161
泵的流量的計算	202
第五章 水压机設備的流体动力学	208
第六章 水压机主要参数的确定及其分流系統的設計原理 ...	246
第七章 水压机設備	251
不用蓄勢器的液泵傳动式水压机	253
粉料压鑄机	253
捆棉水压机	257
冷压冲模机	267
塑料水压机	271
电纜水压机	279
压制木料、夾布膠木、里格諾弗里和里格諾斯通用的水压机	286
团塊水压机	297
第八章 弯重板用的水压机	301
泵的流量的計算	311

液泵电动机操作圖表的計算.....	314
工作循環的時間.....	317
第九章 由迴轉泵傳動的水壓機	325
用橡膠沖壓的水壓機.....	328
粉末冶金用的水壓機.....	333
兩面加壓時的水壓機自動操作過程.....	338
單面加壓時的水壓機自動操作過程.....	342
水壓機的單程(調節行程)操作過程.....	344
試管水壓機.....	345
第十章 用液泵蓄勢器傳動的水壓機	358
電極水壓機.....	365
挤压過程.....	366
第十一章 鍛造水壓機	386
參考文獻	401
中俄名詞對照表	402

原序

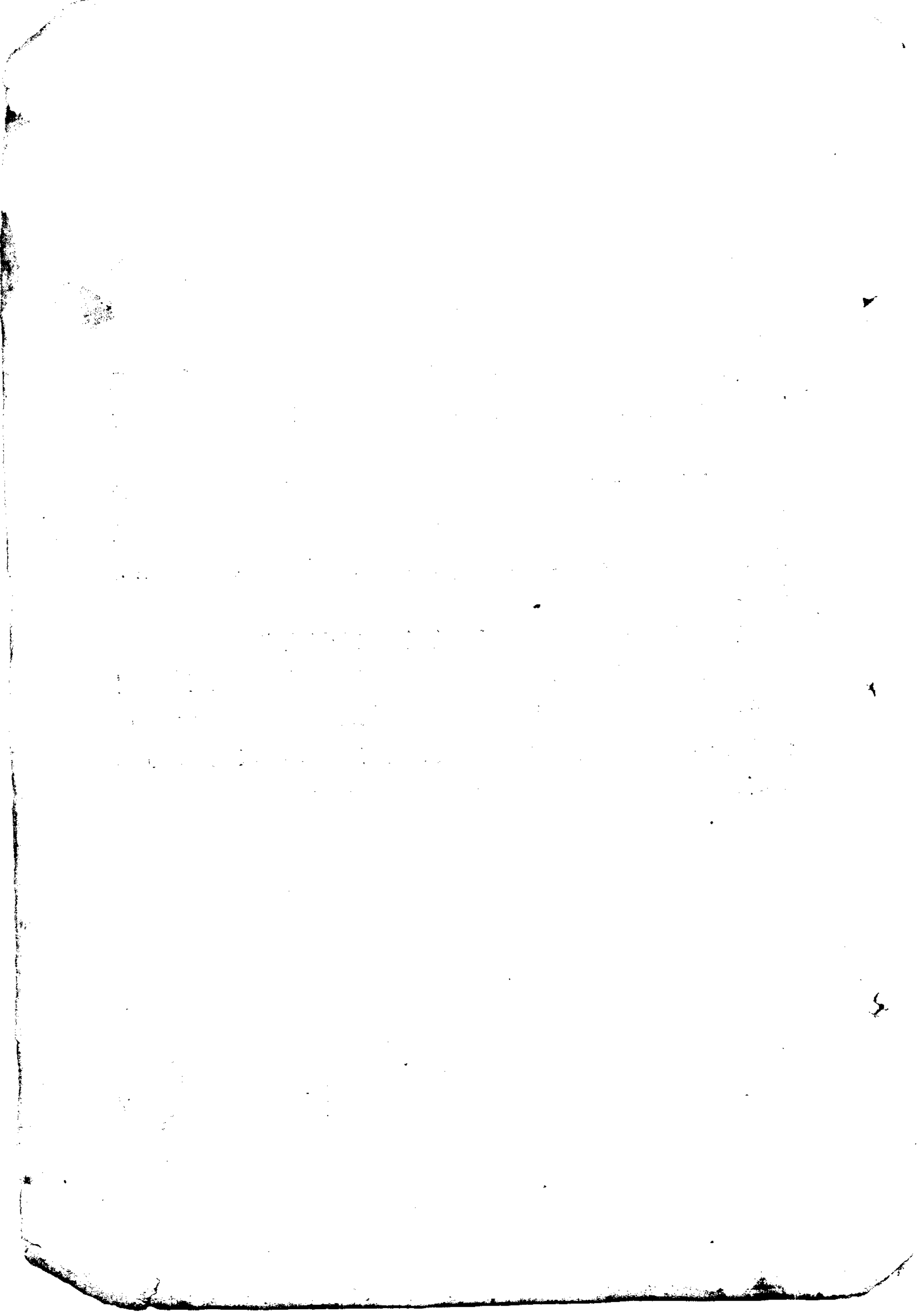
在苏联共产党第十九次代表大会的決議中，規定了机器制造业高速發展的速度。因为机器制造业是苏联国民经济各个部門中新的强大的技术进步的基础。

在代表大会關於第五个五年計劃的指令上，确定重型鍛压机器的生产要比 1950 年增加 7 倍，以为鍛压車間的發展創造新的条件。

近十年来，水压机制造業获得了很大的改进。用純水压傳动的水压机与远距离操縱系統已得到广泛的应用。新型結構的分流裝置、高压管的节流裝置以及新型的填料（密封裝置）也相繼出現了。

在水压机上制造产品的工艺过程也获得了改善。

本書着重敍述了水压机及其零件与部件的計算，並列舉了用水压机制造产品的主要工艺过程，水压机的工作特点以及用單独傳动裝置，远距离操縱和空氣水力傳动裝置的水压机的动作系統。



第一章 各类水压机在中心載荷和偏心 載荷下力的分布及水压机 結構型式的选择

因加压或挤压被加工的制件而在水压机上所發生的外力，常与水压机内部的力系相互抵消。

圖 1 示出了水压机在加压时各力綫的方向。

圖中所示乃是对机器結構的强度进行技术計算的主要前提条件。

工作缸是产生压力的地方，液体在高压下进入工作缸。这一压力傳給在缸內滑动的柱塞及橫梁，再經固定在橫梁上的工具又傳給被挤压的制件。压力的反作用为立柱所承受，立柱是与水压机的上橫梁及底座(下橫梁)紧固連接的。

只有当外力 P 加在水压机的正中心位置时，才發生像圖 1 所示之力的分布情况。

有的时候，水压机必須受到偏心載荷，因此当設計新机器时，确定水压机封閉系統（各机件）內所發生的力，乃是一个复杂的問題。

計算水压机（圖 1）諸元件中的力並不是很困难的。

如果四柱水压机的載荷加在中心位置（圖 2），則可确定作用於每一立柱的力 Q ：

$$Q = \frac{P}{4} = \frac{\pi(D_1^2 + D_2^2 + \dots + D_m^2) p}{4 \times 4}, \quad (1)$$

式中 P ——水压机的总压力（公斤）；

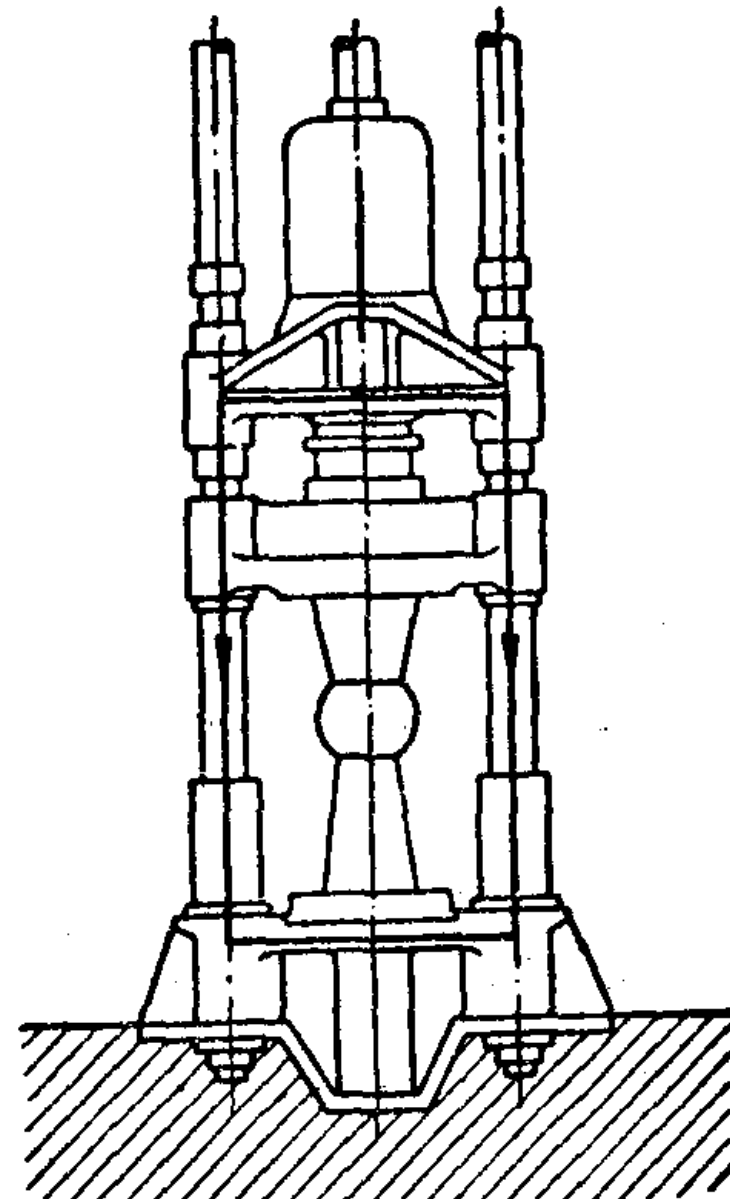


圖 1 水压机力綫分布圖。

D ——工作柱塞的直徑（共 m 个水压机工作缸）（公分）；

p ——工作缸內液体的压力（公斤/公分²）；

n ——立柱数；

m ——工作缸数。

通常有 n 个立柱时，每一立柱所承受的載荷 Q 为：

$$Q = \frac{P}{n} = \frac{0.785(D_1^2 + D_2^2 + \dots + D_m^2)p}{n}.$$

框架形的結構，在其構件受拉力的作用下，上述公式仍然不变；因此，在每个連接件上的載荷可用下列关系式表示：

$$Q' = \frac{P}{m_1} = \frac{0.785(D_1^2 + D_2^2 + \dots + D_m^2)p}{m_1}, \quad (2)$$

式中 m_1 ——框架連接件的数目。

如果繼續觀察外力在水压机其他零件上的作用，显而易見，上橫梁（單缸水压机）所承受的弯曲力矩等於

$$M_{us_2} = \frac{Pl}{4},$$

式中 l ——水压机立柱的中心距（公分）。

显然，底座同样也应承受相等的弯曲力矩，即：

$$M_{us_2} = \frac{Pl}{4}.$$

这一关系式說明，如果加大 l 的尺寸，則將大大增加橫梁与底座所承受的弯曲力矩，而对立柱載荷的增加並不發生显著的影响。

所以，有时会見到一种「形式不相称」的水压机。例如用来压制直徑达3300公厘的鍋爐底蓋的1000吨水压机（圖3），它具有坚实的上橫梁及底座，但却有不成比例的小尺寸的立柱。

当設計时，不可忽略尺寸 l ，当選擇 l 值时，必須具有足够

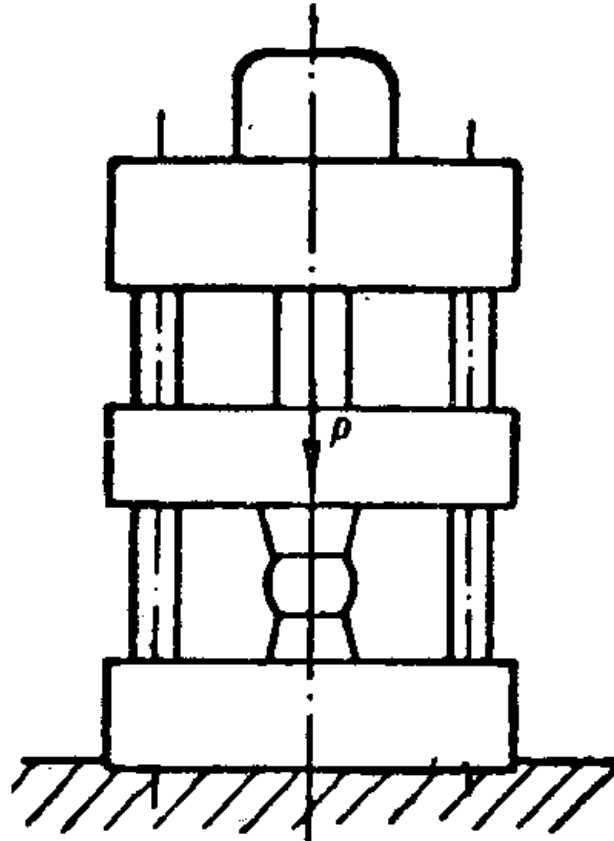


圖2 在水压机上加中心
載荷簡圖。

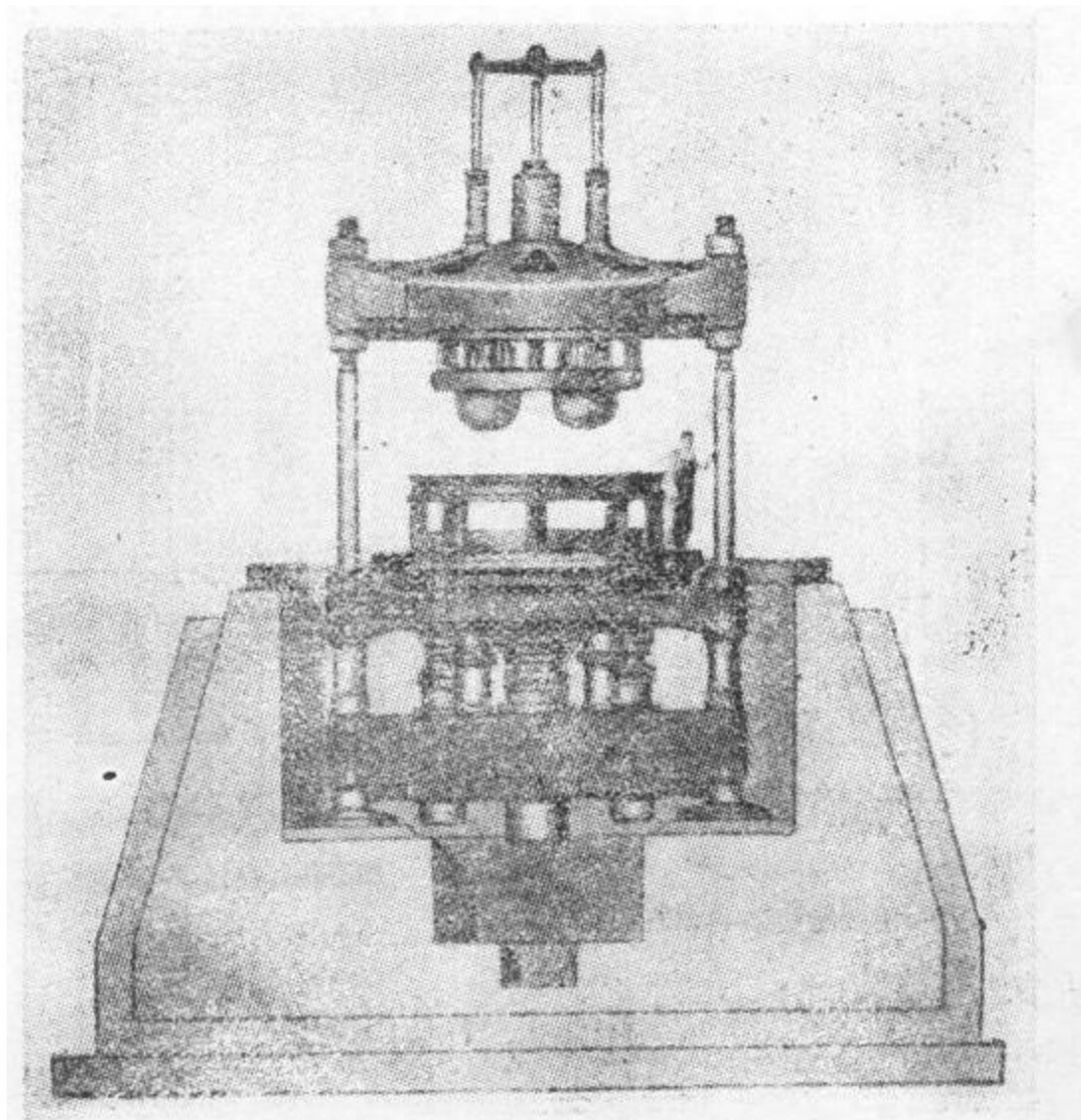


圖 3 壓力 1000 吨的水壓機。

充分的技术根据。

假若压力的中心移向水压机中心的任一边时，力在水压机上的分布將完全是另一种情况（圖 4 和 5）。

这时，确定弯曲立柱的計算力矩的难处，在於整个水压机的系統为靜不定系統。

關於这一問題，斯托罗热夫（М. В. Сторожев）曾进行了很多的研究工作。斯托罗热夫的公式可用来計算强固立柱的尺寸，並确定弯曲应力和許用的「水压机载荷偏心距」。

公式（3）和（4）是用於下列四柱鍛造水压机的：

a) 柱塞固定於活動橫梁上的單缸水压机；

b) 三缸水压机，其中間柱塞固定於活動橫梁上，兩側柱塞

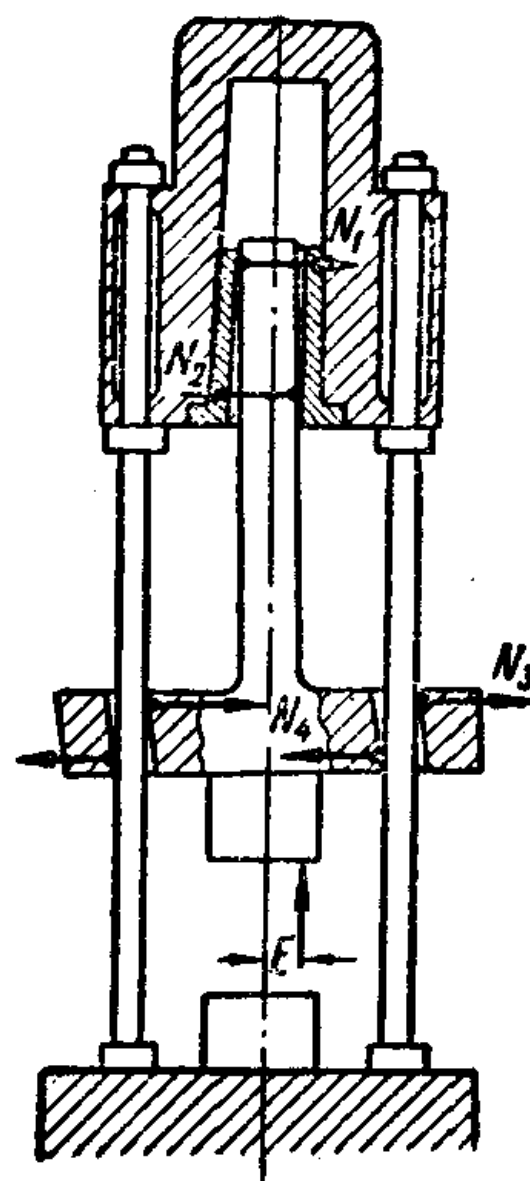


圖 4 在柱塞緊固於橫梁的水壓機上
加有偏心載荷的簡圖：
 E —鍛造偏心距（公厘）。

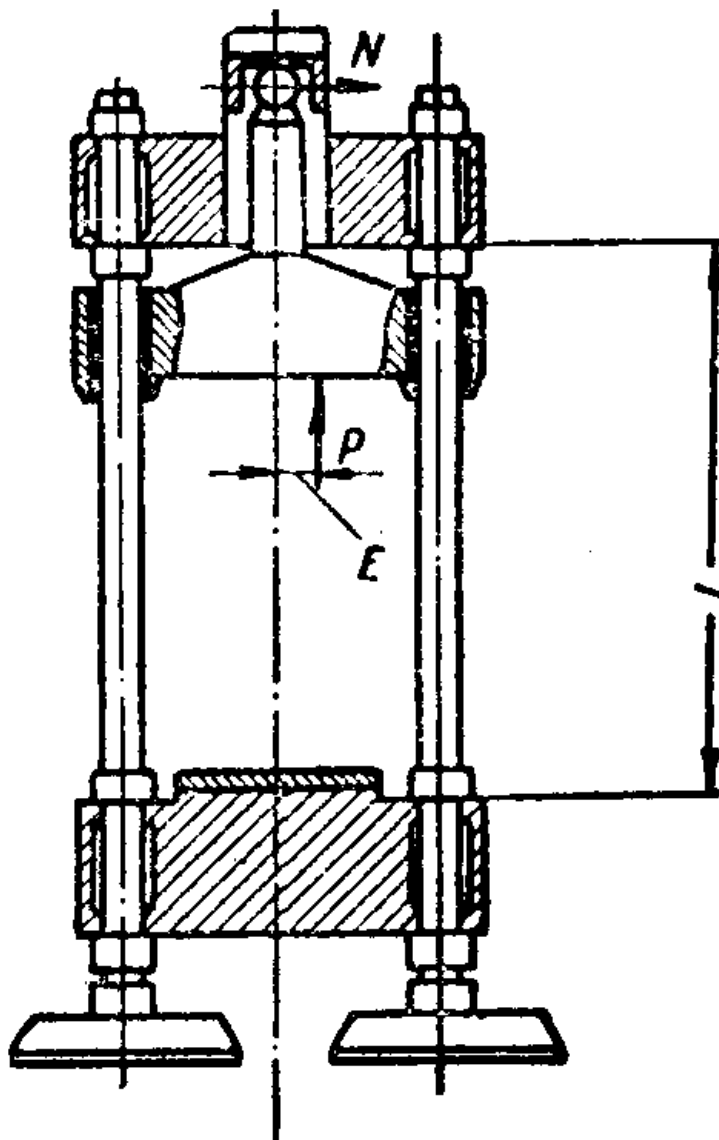


圖 5 在帶有導行柱塞的水壓機上
加有偏心載荷的簡圖。

以活節與橫梁相連；

б) 活塞式單缸水壓機；

г) 三缸水壓機，其中間缸為活塞式，兩側缸為柱塞式，均
以活節與活動橫梁相連。

д) 双缸水壓機，具有空程導行的中間缸和兩側的柱塞式工
作缸，兩側缸以活節與活動橫梁相連。

立柱（圖 6）危險斷面上的計算弯曲力矩為

$$M_{us_2} = PE_x; \quad (3)$$

对上述 а, б 两类水压机， x 值可由下列关系式确定：

$$x = \frac{0.5y(1 - 1.25y + 0.5y^2)}{y + z},$$

对 в, г 和 д (圖 7) 类水压机，则：

$$x = \frac{0.5y(1 - 1.25y + 0.5y^2)}{\varphi},$$

式中 P — 水压机压力（公斤）；

E — 鍛造偏心距（公分）；

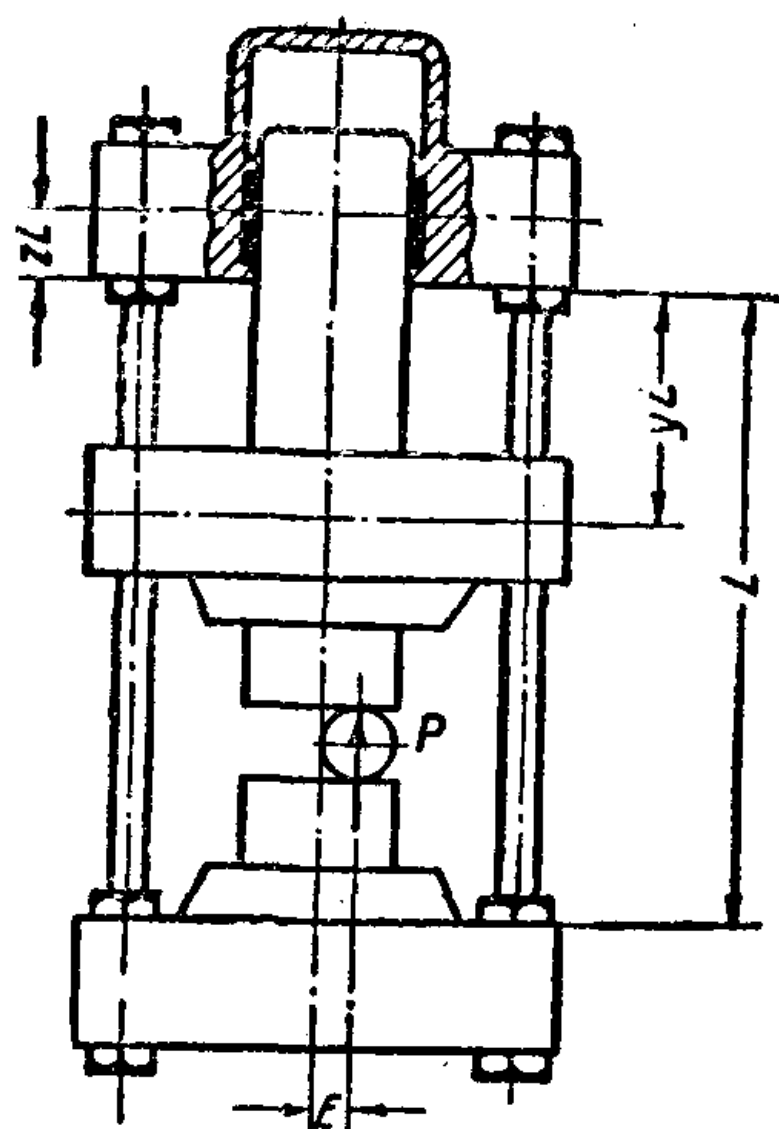


圖 6 當偏心載荷時水壓機的計算圖。

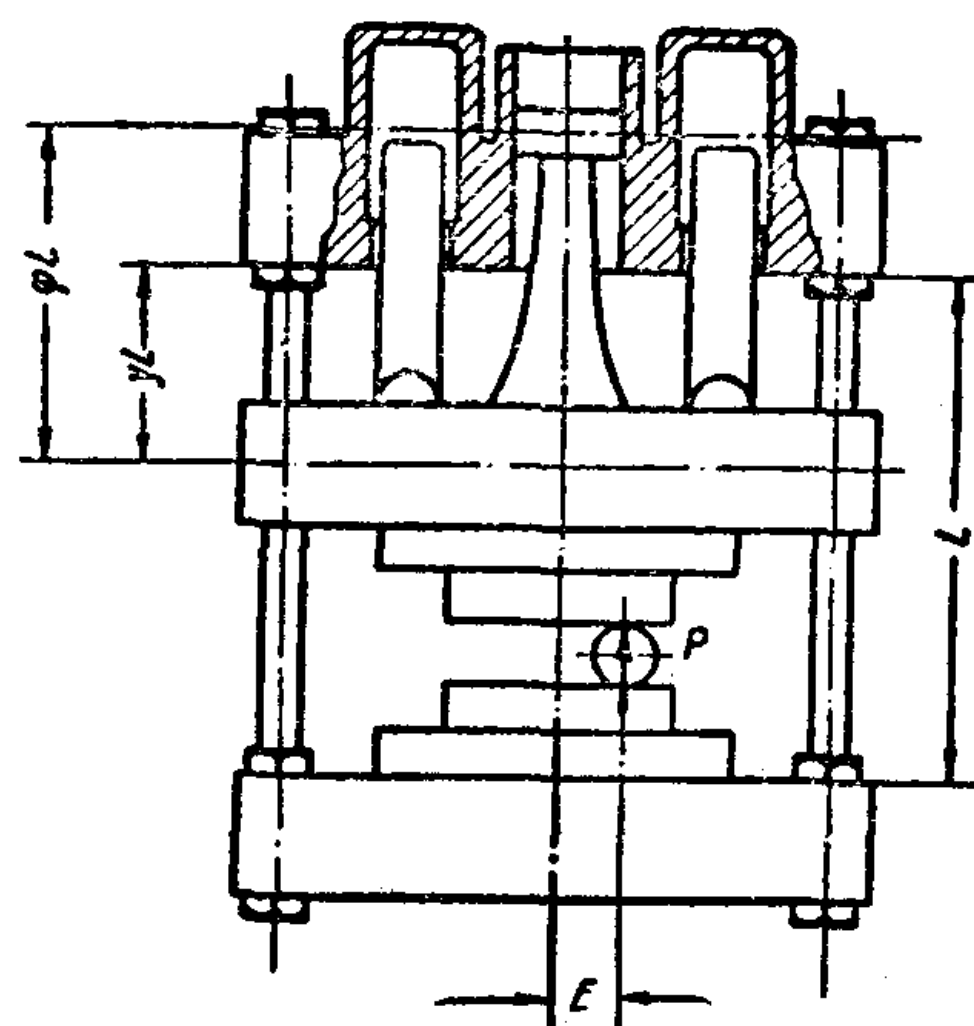


圖 7 當偏心載荷時水壓機的第二種計算圖。

y ——活動橫梁的中平面至上橫梁的底平面的距离，以佔上橫梁至水壓機底座間距離 Z 的几分之几表示；

z ——上橫梁底平面至工作缸導套中心的距离，以佔上橫梁和底座間距離 Z 的几分之几表示；

φ ——活塞中平面和活動橫梁間的距離，以佔上橫梁和底座間距離 Z 的几分之几表示。

表 1 所示 x 的各項數值用於 a 和 b 類水壓機〔公式 (3) 和圖 8〕，而表 2 所示的則用於 c、d 和 e 類水壓機（圖 9）。

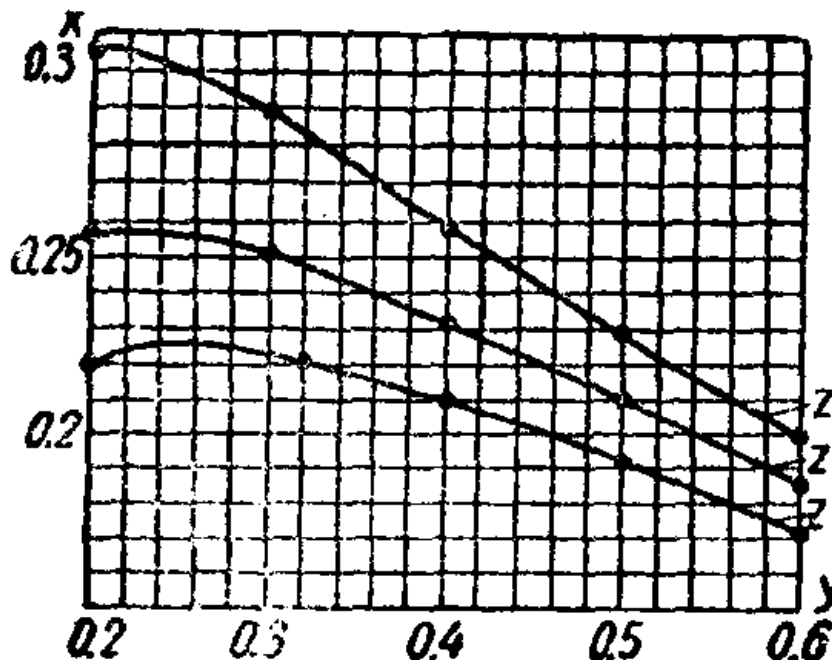
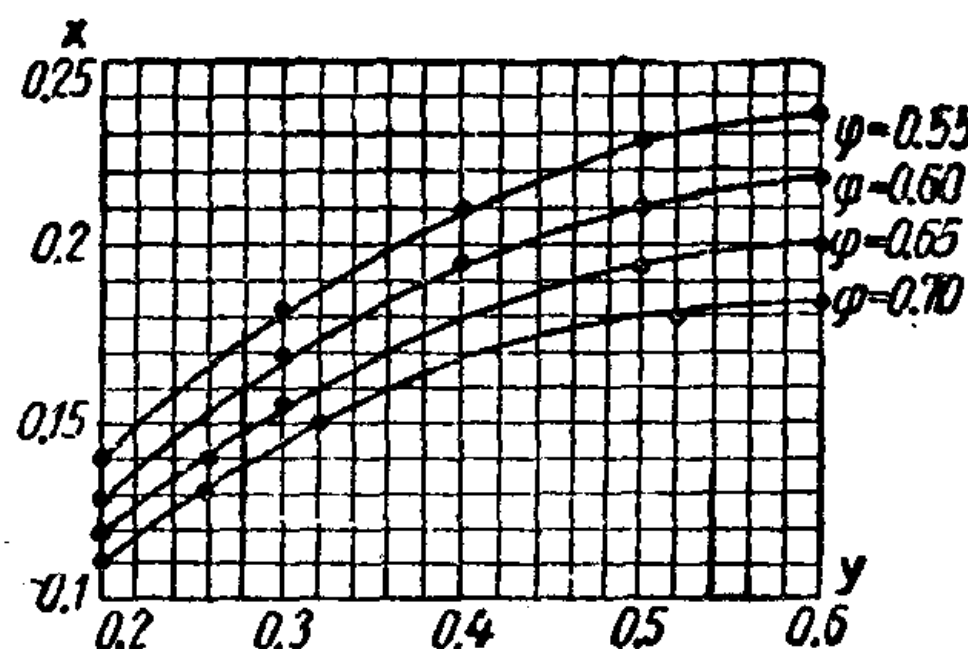
對於帶有活動橫梁的一般結構的水壓機，其活動橫梁襯套間的間隙值和工作缸襯套及柱塞間的間隙值兩者的关系應符合下列

表 1 [公式 (3)]

y	$z = 0.05$	$z = 0.10$	$z = 0.15$
0.2	0.308	0.256	0.220
0.3	0.287	0.251	0.223
0.4	0.257	0.232	0.221
0.5	0.227	0.208	0.192
0.6	0.198	0.184	0.172

表 2

y	$\varphi = 0.55$	$\varphi = 0.60$	$\varphi = 0.65$	$\varphi = 0.70$
0.2	0.140	0.128	0.118	0.110
0.3	0.183	0.157	0.155	0.144
0.4	0.211	0.193	0.178	0.156
0.5	0.227	0.208	0.192	0.179
0.6	0.235	0.215	0.198	0.184

圖 8 計算水壓機立柱時 x 值的變化。圖 9 x 值依 Φ 值而變化的曲線。

不等式：

$$\Delta_s < \frac{2(y+z)L}{B} \Delta_k, \quad (4)$$

式中 Δ_s ——工作缸襯套与柱塞間的間隙；

Δ_k ——活動橫梁襯套与立柱間的間隙；

B ——活動橫梁襯套的高度。

對於用活節與活動橫梁的導襯相連接的水壓機，上述關係就不一定存在。

維諾古爾斯基 (X. A. Винокурский) 在他自己對水壓機立柱計算的研究 [1] 中，更深入地發展了斯托羅熱夫所提出的基本理論，並考慮到零件在其與水壓機中心成偏心放置時將成為橫梁的附加水平支座，從而導出了通用的公式。

維諾古爾斯基的公式在確定空心立柱所許用的偏心值 l_{\max} 時為：

$$l_{\max} = \left[\frac{R}{\sigma_{pacm}} - 1 \right] \frac{D^2 + d^2}{16mD},$$

在確定實心立柱所許用的偏心值時為：

$$l_{\max} = \left[\frac{R}{\sigma_{pacm}} - 1 \right] \frac{D^2}{16m},$$

式中 R ——立柱上的許用應力 (公斤/公分²)。對於 45 号鋼，許用的總應力 (拉伸應力與彎曲應力) 為： $R \leq 2000$ 公斤/公分²；

D ——最小外徑 (公分)；

d ——柱內的孔徑；

$\sigma_{pacm} = \frac{0.25 P}{\omega}$ ——立柱上由於水壓機中心壓力所產生的拉伸應力；

ω ——立柱的截面積（公分²）；

m ——按下列鍛壓時的外部力矩等式所確定的系數：

$$M_k = 1 = Pl[1]$$

計算時，建議要確定立柱在下列兩種情況下的最大力矩：

1) 鍛件不作為附加的水平支座； 2) 鍛件對於橫梁來說是附加的支座。根據維諾古爾斯基的資料，偏心鍛造時的弯曲應力值通常較中心載荷時的拉伸應力大3~4倍。例如：當 $\sigma_{pacm} = 300$ 公斤/公分²時，弯曲應力可達 $\sigma_{us2} = 1400$ 公斤/公分²。

在工業中，懸臂式水壓機使用最廣，現在讓我們研究一下加壓時其力的平衡條件。

在懸臂式水壓機（圖10）上同樣是外力與內力系彼此相互抵消的。

外力 P 作用於力臂 $L = a + e$ 上。

如果加兩個相等而又相互平衡的壓力 P 於機身中心時，則將會有力 P 和力臂 L 的力偶，企圖把弯曲狀的機身弄直，另一方面，力 P 還要使機身拉裂。因此，用來計算機身 $A-A$ 截面的公式為：

$$M_{us2} = PL, \quad (5)$$

所以

$$\sigma = \frac{M_{us2} l}{J},$$

式中 J ——機身截面的慣性力矩（公分⁴）；

l ——自中心線至最遠纖維的距離（公分）；

σ ——弯曲應力（公斤/公分²）。

拉裂機身的力 P 和因其而引起的破裂應力將形成下列關係：

$$P = F\sigma,$$

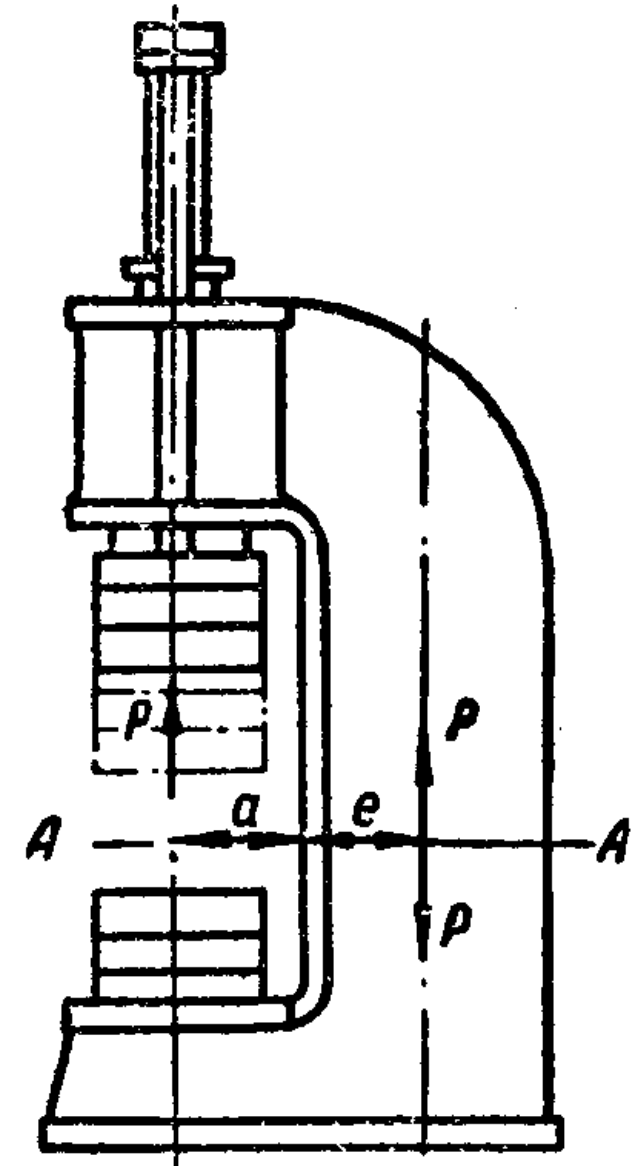


圖10 在懸臂式水壓機上，應力的分布圖。

式中 F —— 机身的截面面积（公分²）。

在這類結構的水壓機上，常加兩根堅固的立柱，因之可減輕机身的負荷。圖 11 所示即為此類水壓機的一種。

選擇水壓機結構的幾個要點。上面已研討了各種水壓機在中心載荷和偏心載荷時，作用力的分布情況，並列出了計算公式，因之有可能在設計水壓機的基本問題上——在一般場合和個別場合，依據水壓機的使用要求來選擇水壓機主要部分（上橫梁和活動橫梁）的結構上，提出幾點應注意的地方。

首先應當指出，像圖 47 所示柱塞不牢固緊定在橫梁上的單缸水壓機結構，只有壓力在 200 吨以下，速度低，工作行程小（50 公厘以下），並且載荷在正中心上時，因其製造簡單而價廉才採用。

專門用來落料、壓印、團塊、壓制塑料等用的水壓機都可列入此類。

有時雖然仅有很小一點的偏心力，這類結構就不適用，而必須像圖 4 所示，把柱塞牢固地緊定在活動橫梁上。

但是這種結構雖然因其簡單而應用很廣，然而壓力會經柱塞傳到上橫梁而直接作用於襯套及封帽上，因而使後者過早報廢。

單缸水壓機，依其用途可設計到壓力為 1000~1500 吨的。

上述壓力適用於單級壓力的兩缸水壓機，此時工作缸的結構設計是成雙的。

上述單缸水壓機所特有的缺點，在此例中也還存在。為了消除此一缺點，可用一特殊的導行滑桿（圖 12），它與活動橫梁牢

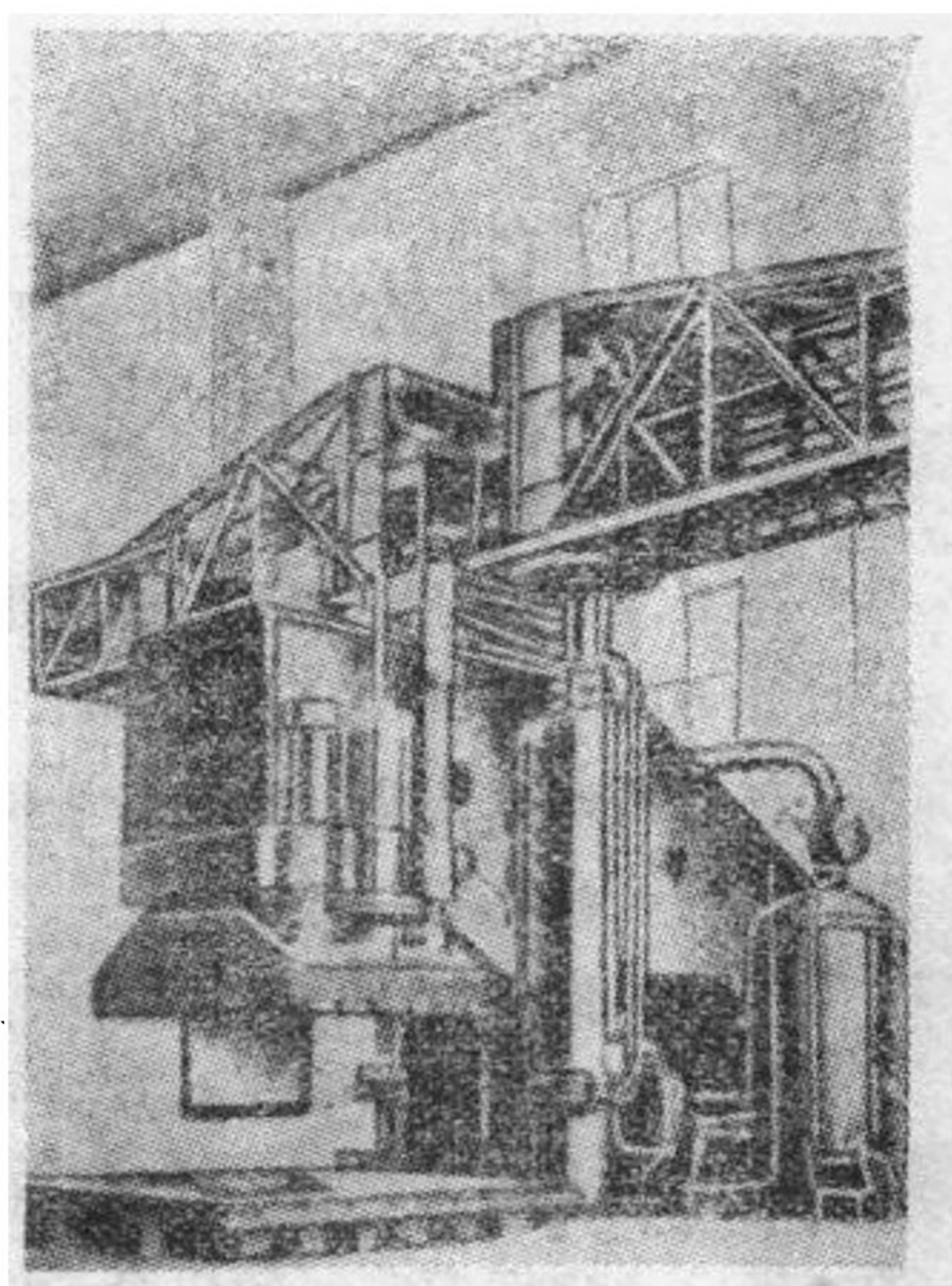


圖 11 帶堅固立柱的懸臂式水壓機。

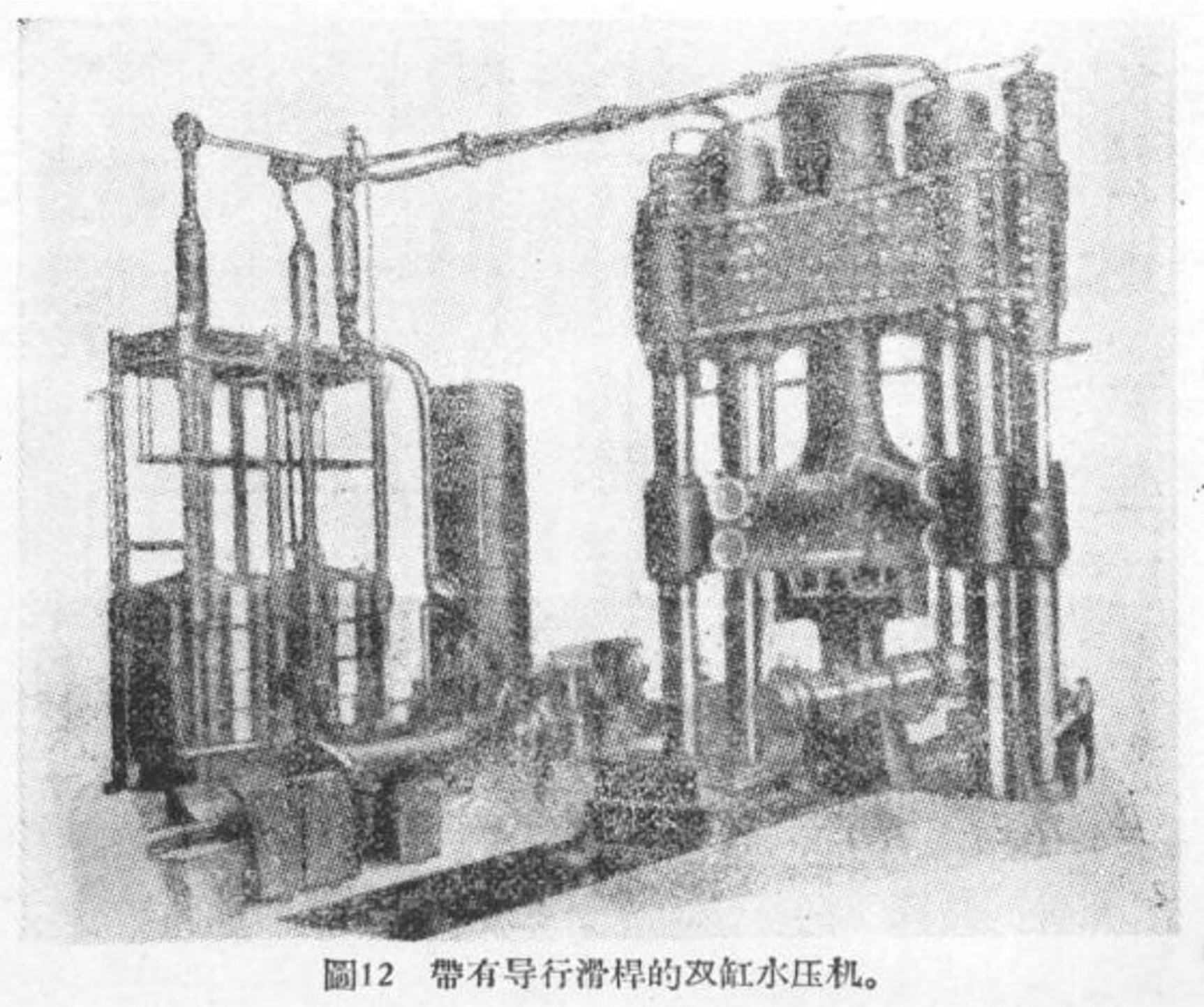


圖12 帶有導行滑桿的雙缸水壓機。

固相連，其頂部能在上橫梁上的襯套內滑動。

在這種結構上的兩個工作缸的襯套與封帽，不受偏心載荷的有害影響，因而給工作缸和柱塞創立了有利的工作條件，同時延長了它們的使用期限。

當然，這種結構需要增加各立柱間的中心距，因而使其在製造時增加額外的金屬消耗，同時也會由此增加了機器的重量，但是却提高了使用質量。

最後，對於壓力在 1500 ~~噸~~ 以上的水壓機，當要求有數級壓力時，其結構的擬定與上面所探討過的稍有不同（圖13）。

中間的柱塞牢固地緊定在活動橫梁上，兩側的柱塞則用球形支座固定。

圖14所示為類似的結構，中間柱塞有助於減小偏心載荷對導軌及工作缸密封裝置的有害作用，同時還能減輕由於彎曲而對立柱的附加載荷。

這種結構雖然有很多優點，但很複雜，所以對於達 3000～

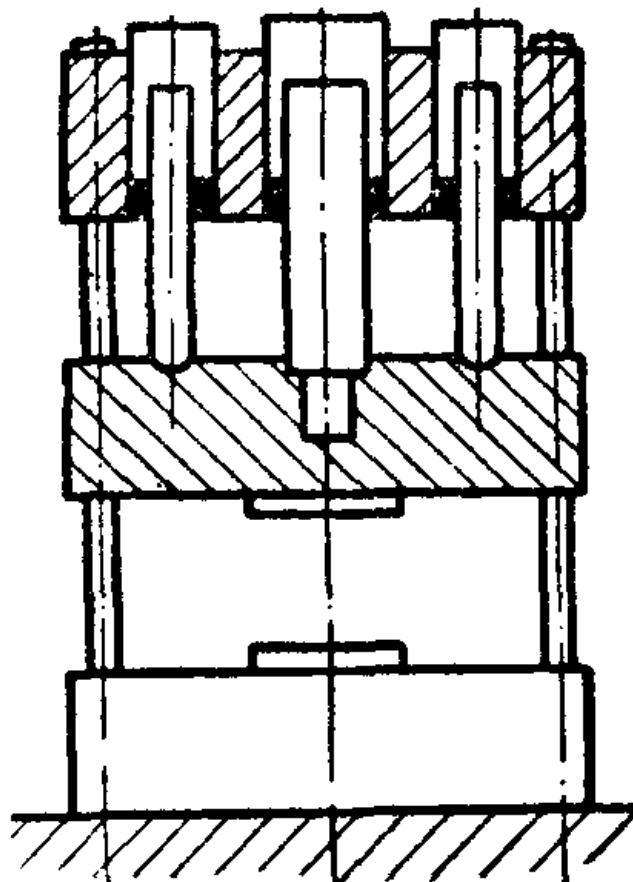


圖13 三級壓力的三缸水壓機結構圖。

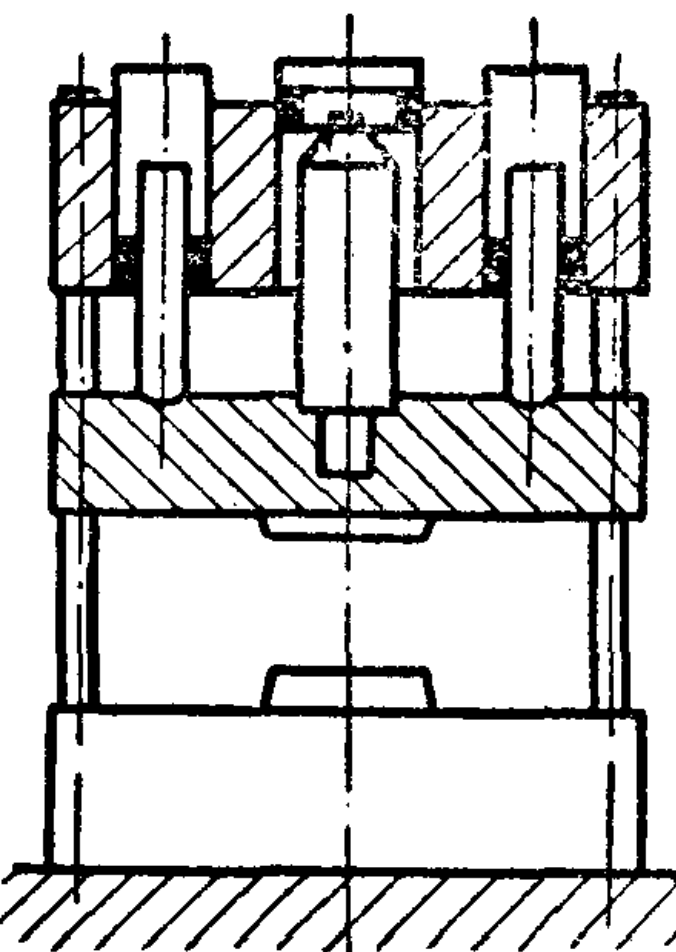


圖14 帶有中間導行柱塞的三缸水壓機結構圖。

6000吨的中級壓力水壓机，多採用下述方案：三缸的按圖13的結構，單缸的按圖4的結構，双缸的則按圖12的結構。

所有这些結構系統的方案，無論對於柱式的和門框式的以及懸臂式的水壓机都可採用，其中也包括橫梁的工作行程由下往上的水壓机（工作缸裝在底座上），这种水壓机可認為是倒轉过来的一般結構的水壓机。

立柱和螺帽的計算及其緊固

當有偏心附加壓力時，確定水壓机系統內的作用力是立柱計算的基礎。

當採用45號鋼（ГОСТ В-1050-41）時，計算按已確定的結構系統及公式（1）和（3）進行。最小截面的最大許用拉應力為 $\sigma_p \leq 600$ 公斤/公分²，弯曲應力為 $\sigma_{us} \leq 1500$ 公斤/公分²。

由於所附加的偏心載荷不固定（尤其是鍛造與沖壓水壓机），故 σ_{us} 需採用最高值。為了預防由於過度的偏心載荷而引起的立柱損壞，建議使用一些專門的控制器。

所用的方法是根據光電效應原理[18]。拉霍夫（B.H. Paxos）工程師擬出了另外一種避免水壓机立柱損壞的方法（圖15）。這